

AFFLEUREMENT DE COMPILATION

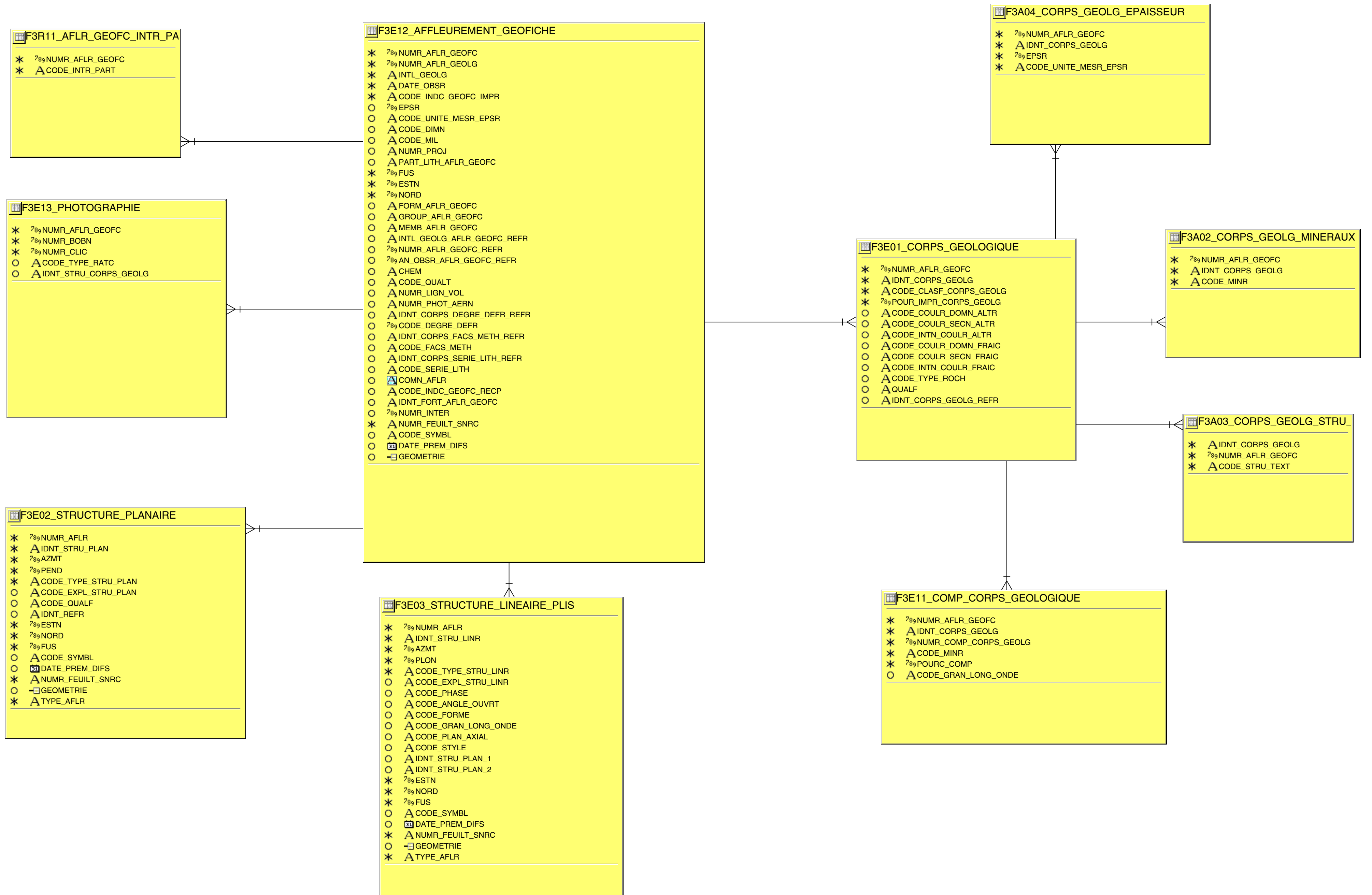
F3E05_AFFLEUREMENT_COMPILATION	
*	?89 NUMR_AFLR_COMP
*	?89 ESTN
*	?89 NORD
*	?89 FUS
*	A CODE_PREC_LOCL
*	A LITH
O	A PART_LITH
O	A MINR
O	A CODE_FACS_METH
O	?89 CODE_DEGRE_DEFR
O	A CODE_SERIE_LITH
O	A COMN_AFLR_COMP
O	A CODE_QUALT
*	?89 NUMR_INTER
O	A CODE_SYMBL
O	<input checked="" type="checkbox"/> DATE_PREM_DIFS
O	<input type="checkbox"/> GEOMETRIE
*	A NUMR_FEULT_SNRC

F3E03_STRUCTURE_LINEAIRE_PLIS	
*	?89 NUMR_AFLR
*	A IDNT_STRU_LINR
*	?89 AZMT
*	?89 PLON
*	A CODE_TYPE_STRU_LINR
O	A CODE_EXPL_STRU_LINR
O	A CODE_PHASE
O	A CODE_ANGLE_OUVRT
O	A CODE_FORME
O	A CODE_GRAN_LONG_ONDE
O	A CODE_PLAN_AXIAL
O	A CODE_STYLE
O	A IDNT_STRU_PLAN_1
O	A IDNT_STRU_PLAN_2
*	?89 ESTN
*	?89 NORD
*	?89 FUS
O	A CODE_SYMBL
O	<input checked="" type="checkbox"/> DATE_PREM_DIFS
*	A NUMR_FEULT_SNRC
O	<input type="checkbox"/> GEOMETRIE
*	A TYPE_AFLR

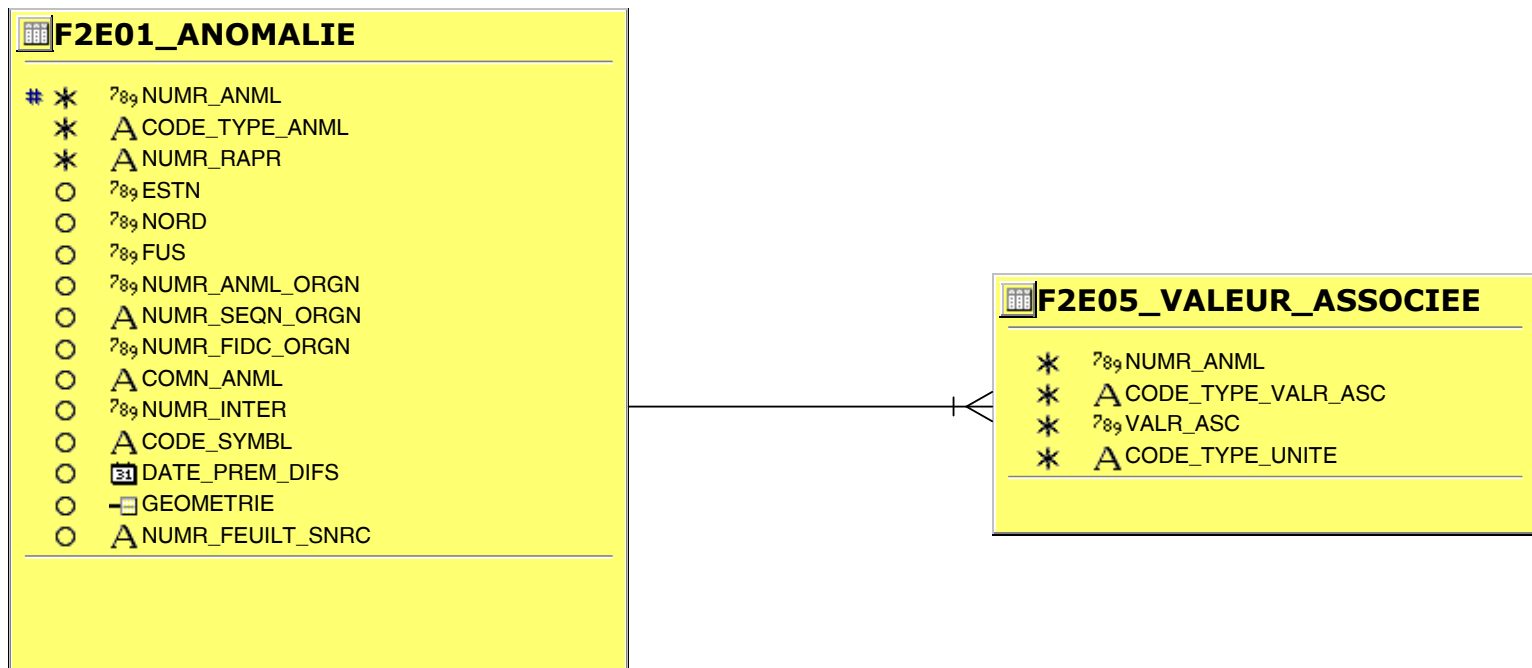
F3R18_AFLR_COMP_DOCUMENT	
*	?89 NUMR_AFLR_COMP
*	A NUMR_RAPR

F3E02_STRUCTURE_PLANAIRE	
*	?89 NUMR_AFLR
*	A IDNT_STRU_PLAN
*	?89 AZMT
*	?89 PEND
*	A CODE_TYPE_STRU_PLAN
O	A CODE_EXPL_STRU_PLAN
O	A CODE_QUALF
O	A IDNT_REFR
*	?89 ESTN
*	?89 NORD
*	?89 FUS
O	A CODE_SYMBL
O	<input checked="" type="checkbox"/> DATE_PREM_DIFS
*	A NUMR_FEULT_SNRC
O	<input type="checkbox"/> GEOMETRIE
*	A TYPE_AFLR

AFFLEUREMENT DE GÉOFICHE



ANOMALIE ÉLECTRONMAGNÉTIQUE



BLOC ERRATIQUE

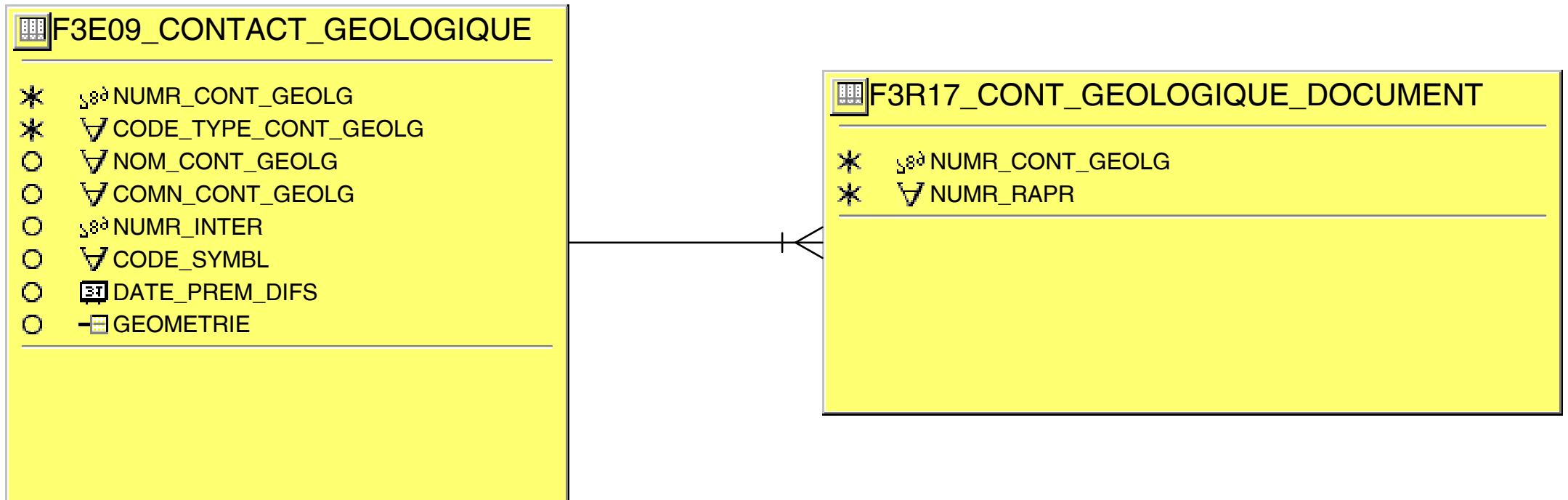
F5E11_COMPTAGE

- * 38 NUMR_BLOC_ERTQ
- * ▾ LITH
- 38 POURC_COMPT
- ▾ TAIL_COMPT
- ▾ COMN_COMPT

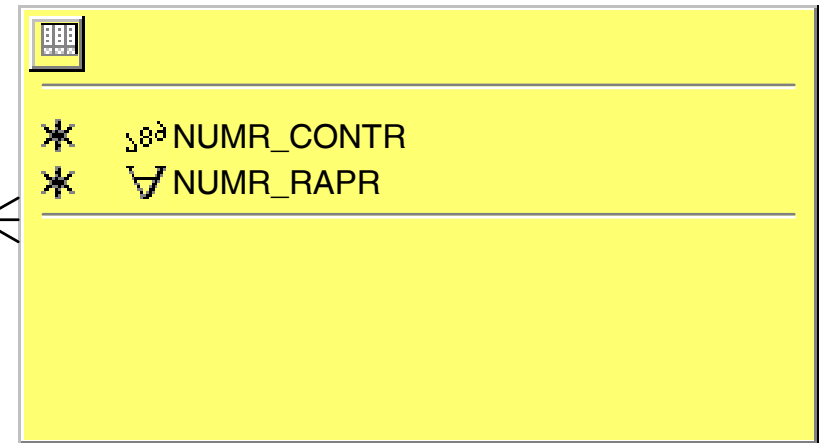
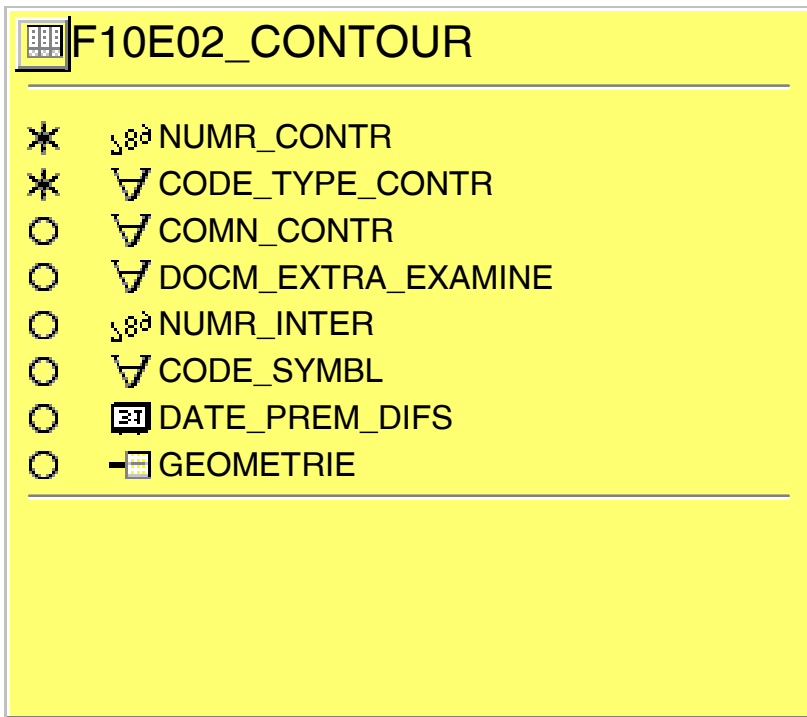
F5E07_BLOC_ERRATIQUE

- * 38 NUMR_BLOC_ERTQ
- * ▾ CODE_TYPE_BLOC_ERTQ
- ▾ NOM_BLOC_ERTQ
- ▾ PART_BLOC_ERTQ
- ▾ LITH
- ▾ MINR
- ▾ NOMB_BLOC_ERTQ
- ▾ TYPE_MATR
- 38 DIMN_X_BLOC_ERTQ
- 38 DIMN_Y_BLOC_ERTQ
- 38 DIMN_Z_BLOC_ERTQ
- ▾ CODE_UNITE_MESR
- ▾ FORME_BLOC_ERTQ
- ▾ ARND_BLOC_ERTQ
- 38 FUS
- 38 ESTN
- 38 NORD
- ▾ ENTT_SOURC
- ▾ NUMR_FEUILT_SNRC_SOURC
- 38 FUS_SOURC
- 38 ESTN_SOURC
- 38 NORD_SOURC
- ▾ COMN_BLOC_ERTQ
- ▾ NUMR_RAPR
- ▾ DOCM_EXTRA_EXAMINE
- 38 NUMR_INTER
- ▾ CODE_SYMBL
-  DATE_PREM_DIFS
- ▾ NUMR_FEUILT_SNRC
-  GEOMETRIE

CONTACT GÉOLOGIQUE



CONTOUR



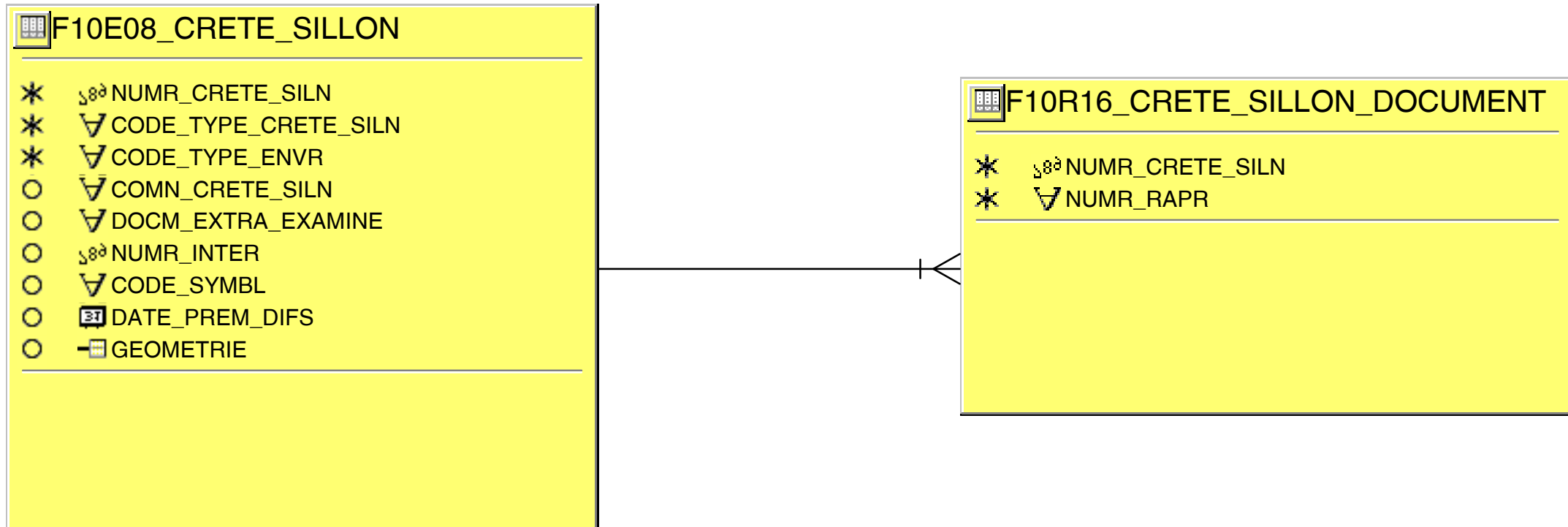
COURBE ISOVALEUR



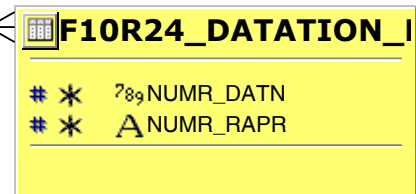
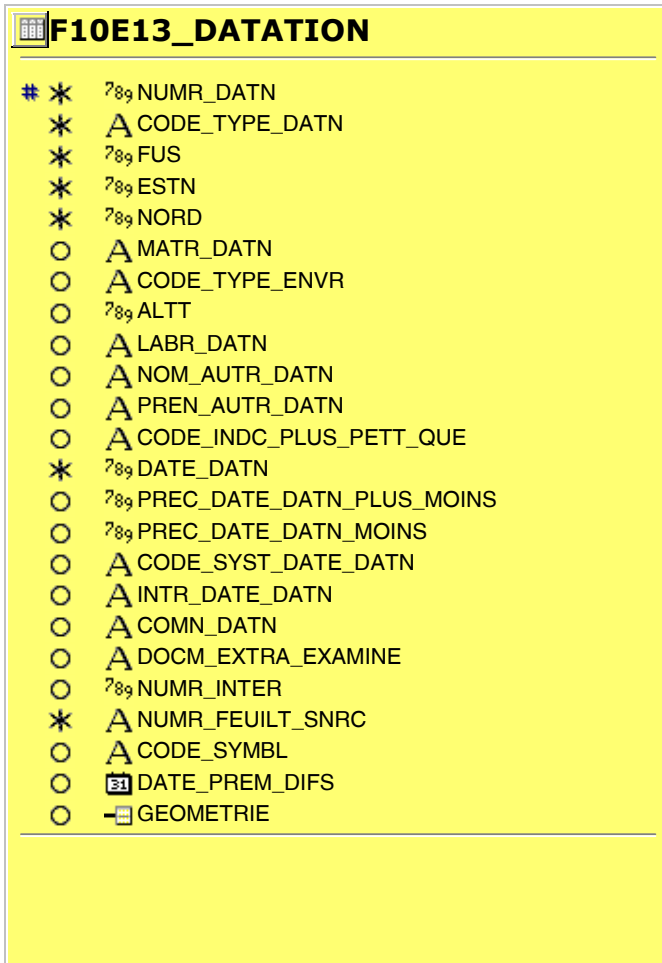
F2E03_COURBE_ISOVALEUR

- * NUMR_COURB_ISVL
- * CODE_TYPE_COURB_ISVL
- * CODE_TYPE_CONTOUR
- CODE_TYPE_DEPR
- * INTN
- * CODE_TYPE_UNITE_INTN
- * NOMB_POINT
- NUMR_INTER
- CODE_SYMBL
- DATE_PREM_DIFS
- GEOMETRIE

CRÊTE SILLON



DATATION



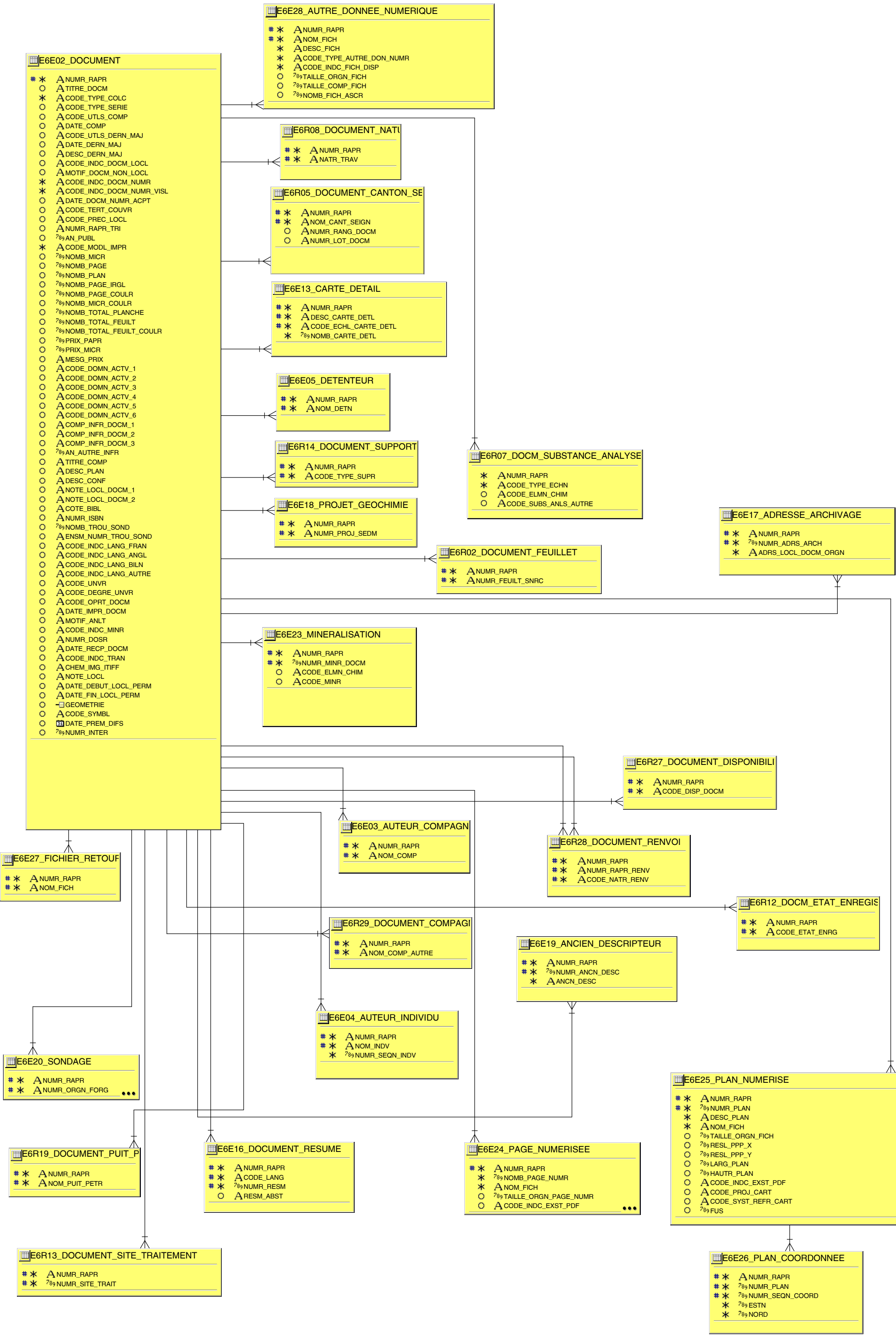
DELTA

DELTA		
# *	∫ ⁸⁰	NUMR_DELTA
*	∇	CODE_TYPE_DELTA
○	∇	NOM_DELTA
*	∇	CODE_TYPE_ENVR
*	∫ ⁸⁰	FUS
*	∫ ⁸⁰	ESTN
*	∫ ⁸⁰	NORD
○	∫ ⁸⁰	AZMT
○	∫ ⁸⁰	ALTT
○	∇	COMN_DELTA
○	∇	DOCM_EXTRA_EXAMINE
○	∫ ⁸⁰	NUMR_INTER
*	∇	NUMR_FEUILT_SNRC
○	∇	CODE_SYMBL
○	☒	DATE_PREM_DIFS
○	☒	GEOMETRIE

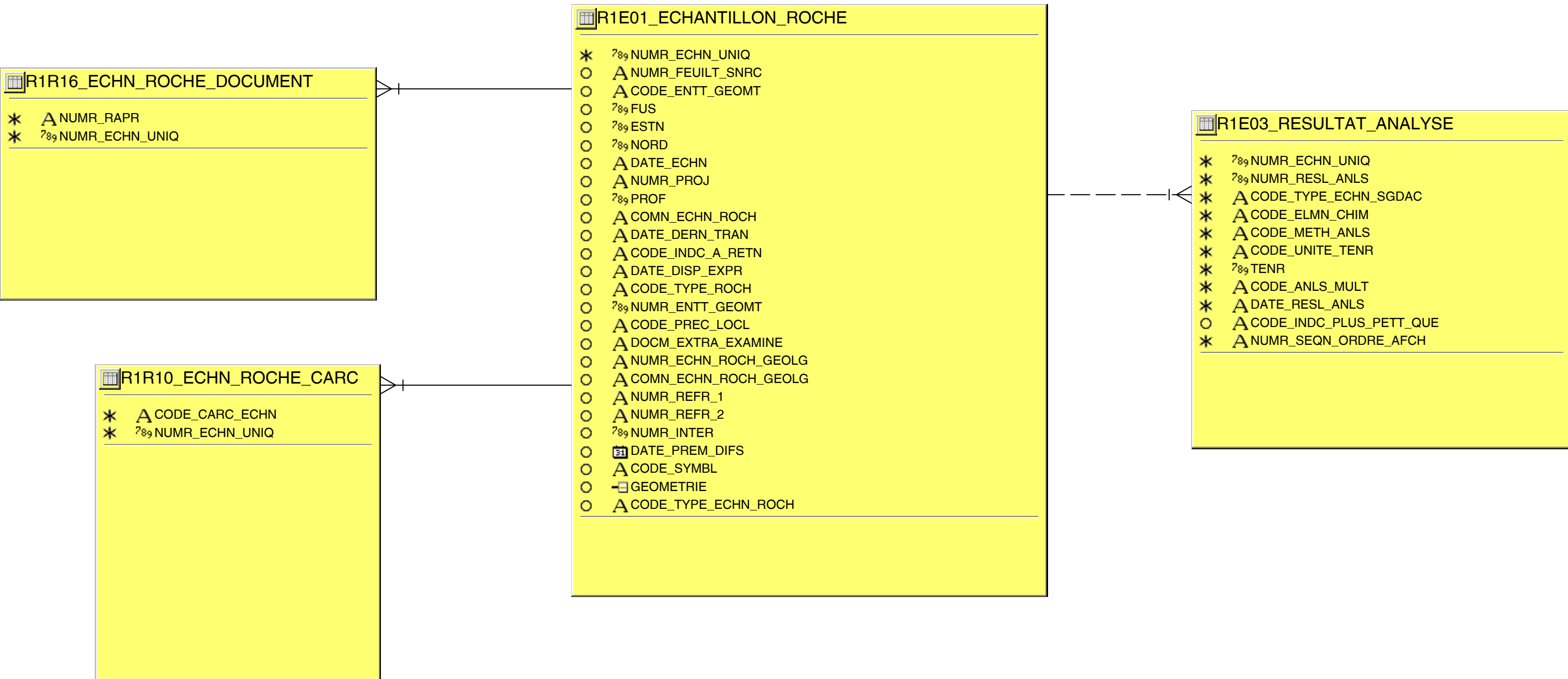
DELTA		
# *	∫ ⁸⁰	NUMR_DELTA
# *	∇	NUMR_RAPR



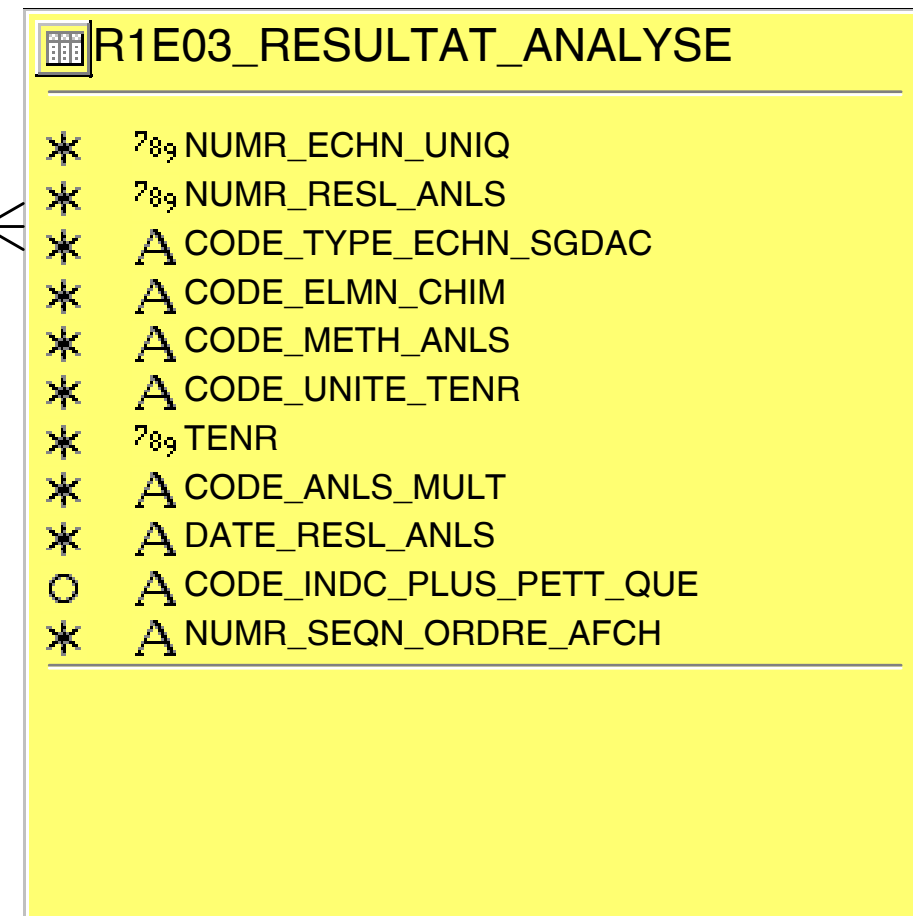
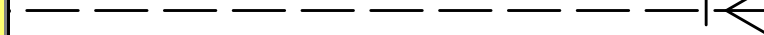
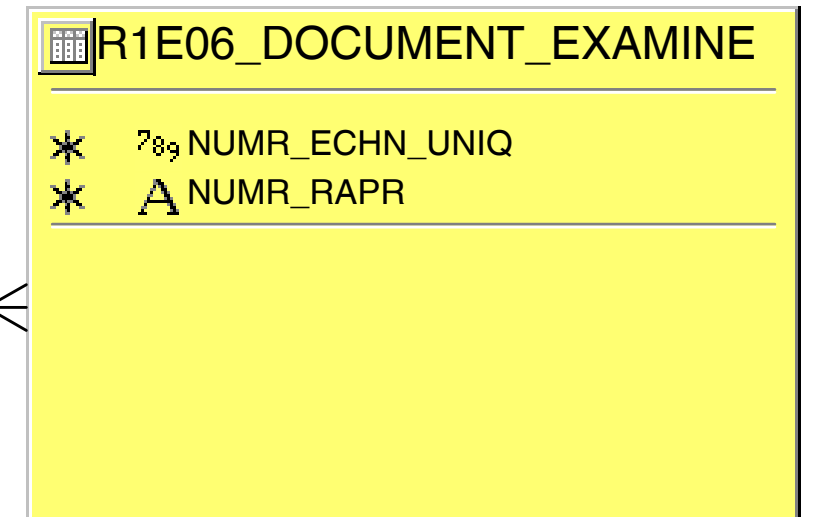
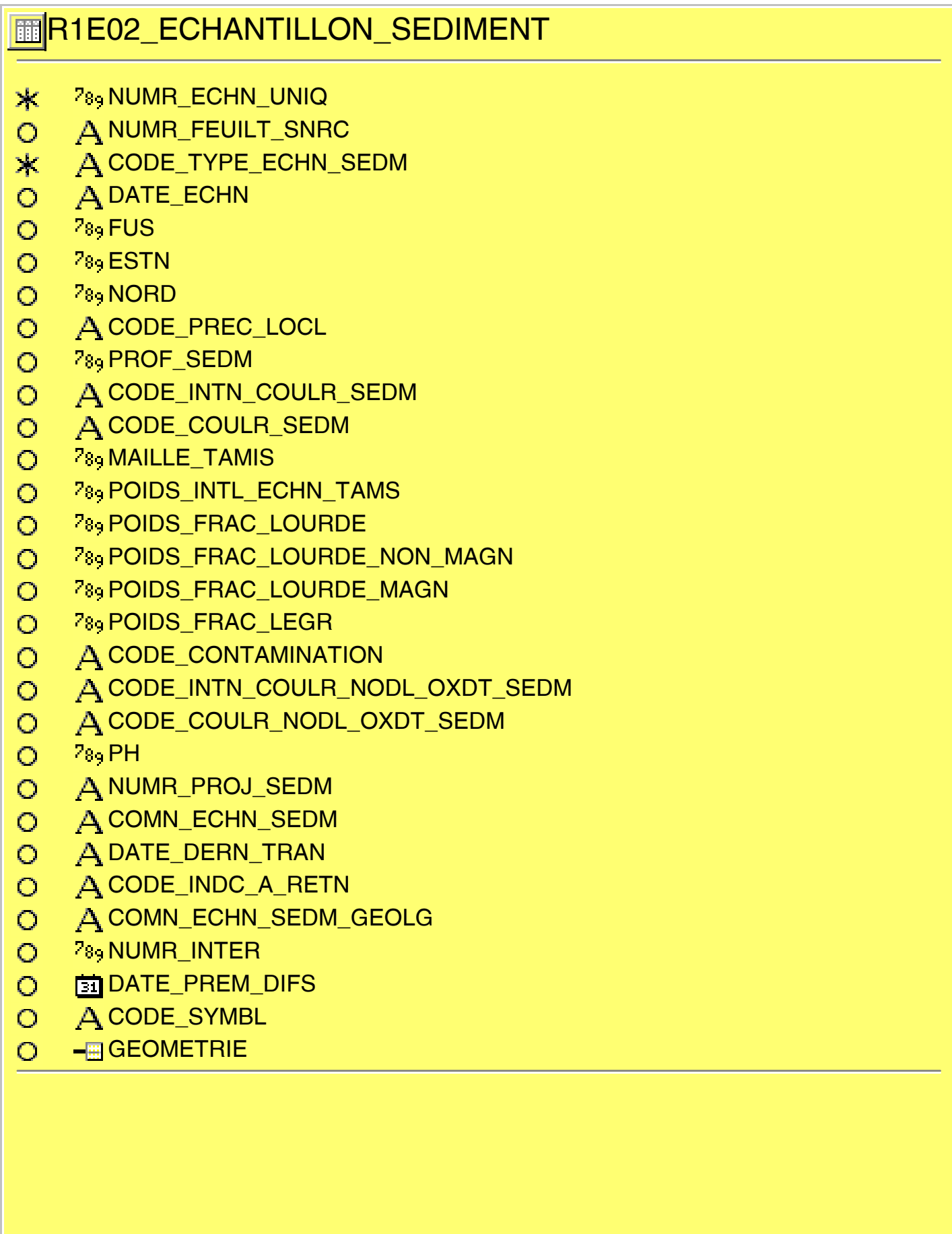
DOCUMENT EXAMINE ET (LEVÉS)



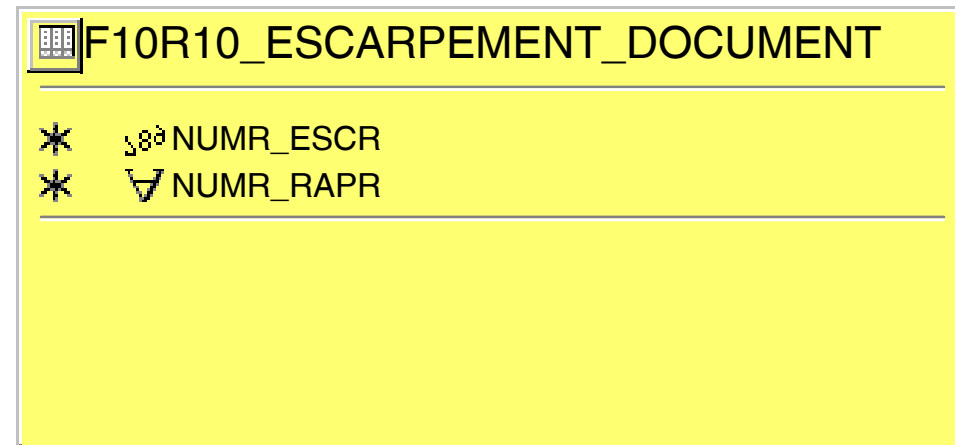
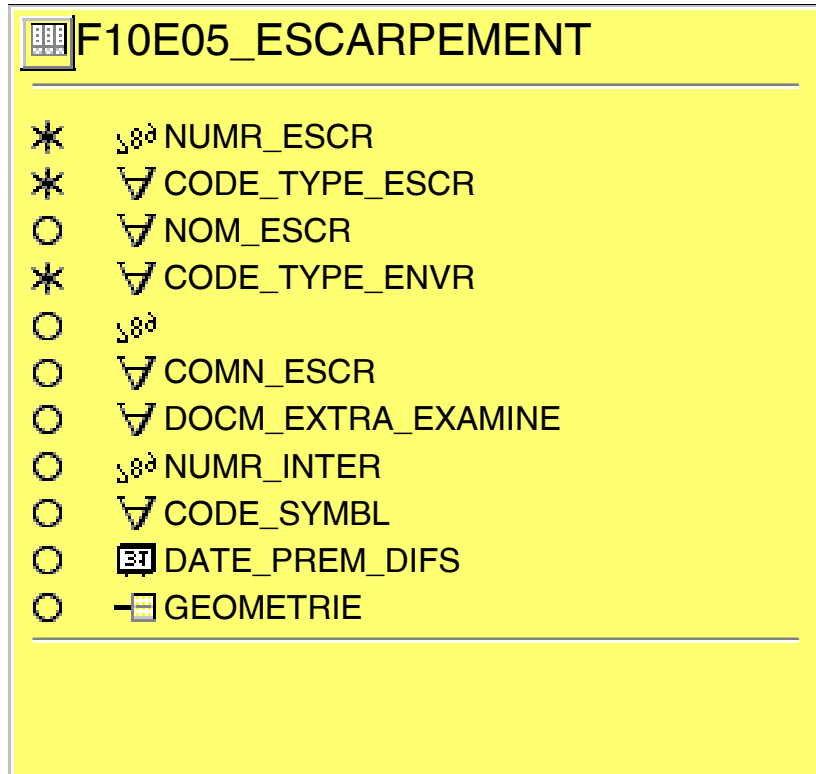
ÉCHANTILLONS DE ROCHE



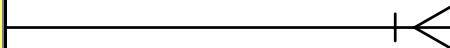
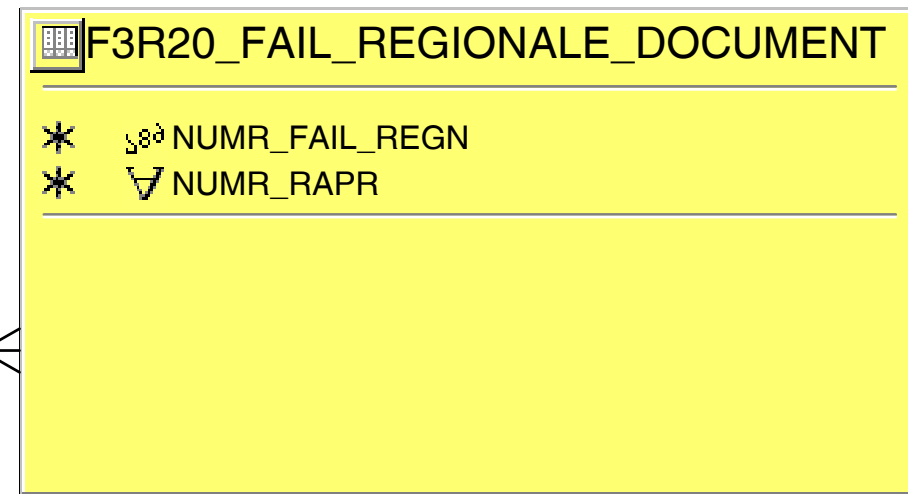
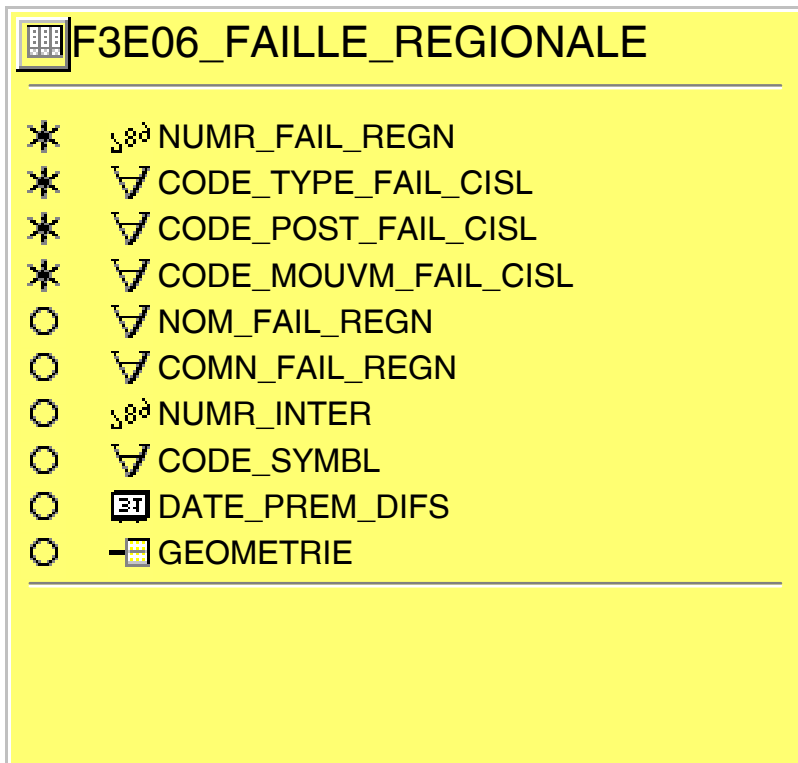
ÉCHANTILLONS DE SÉDIMENT



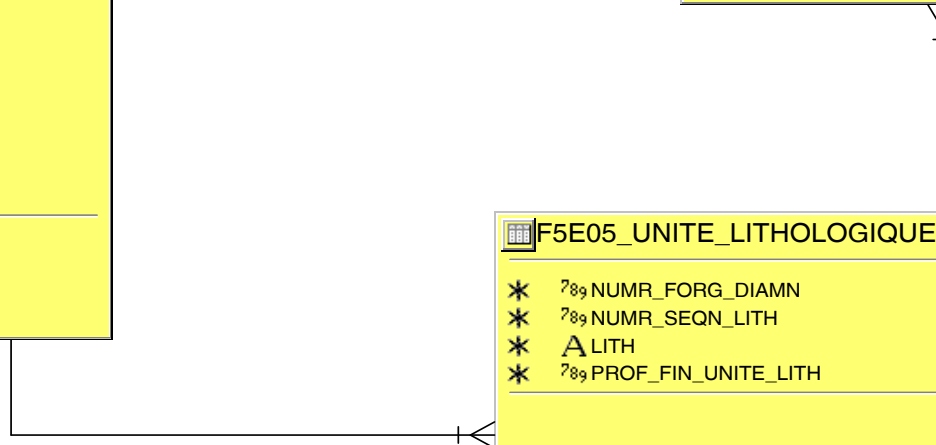
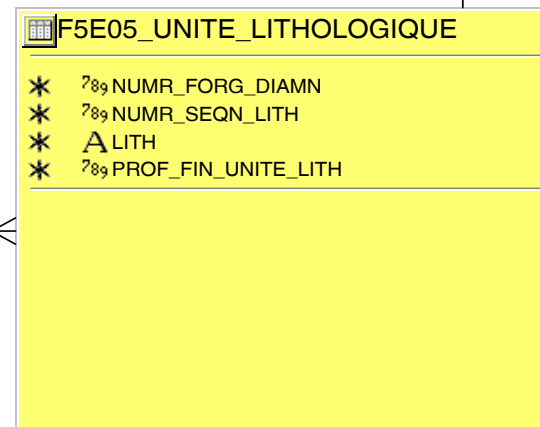
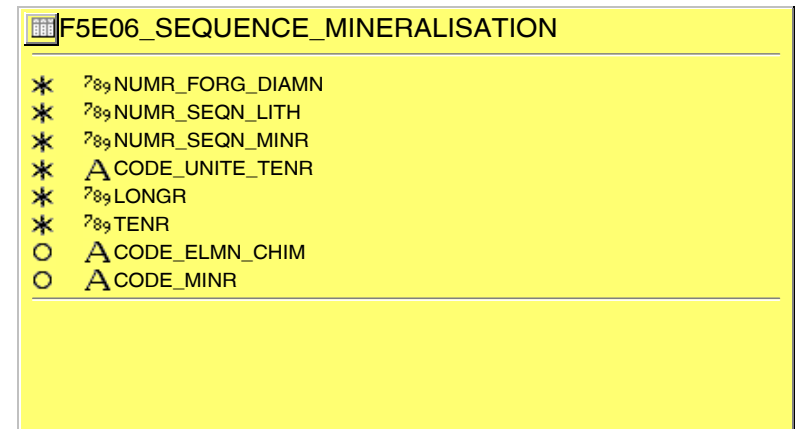
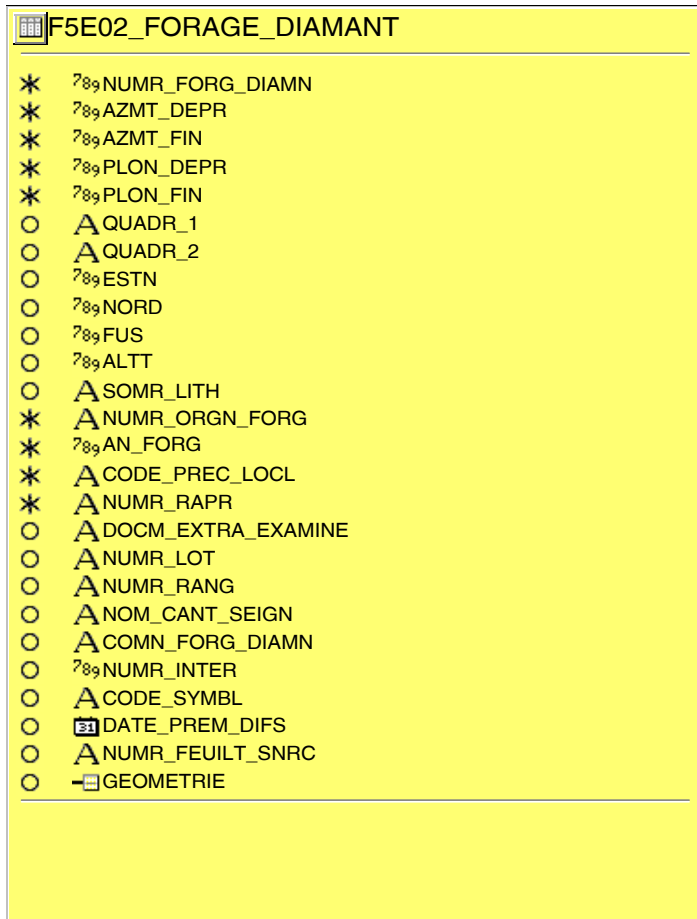
ESCARPEMENT



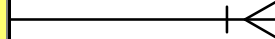
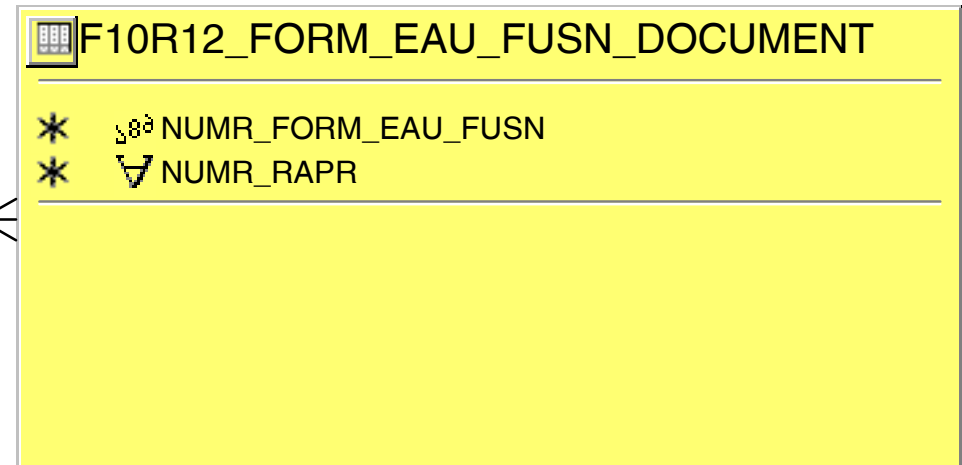
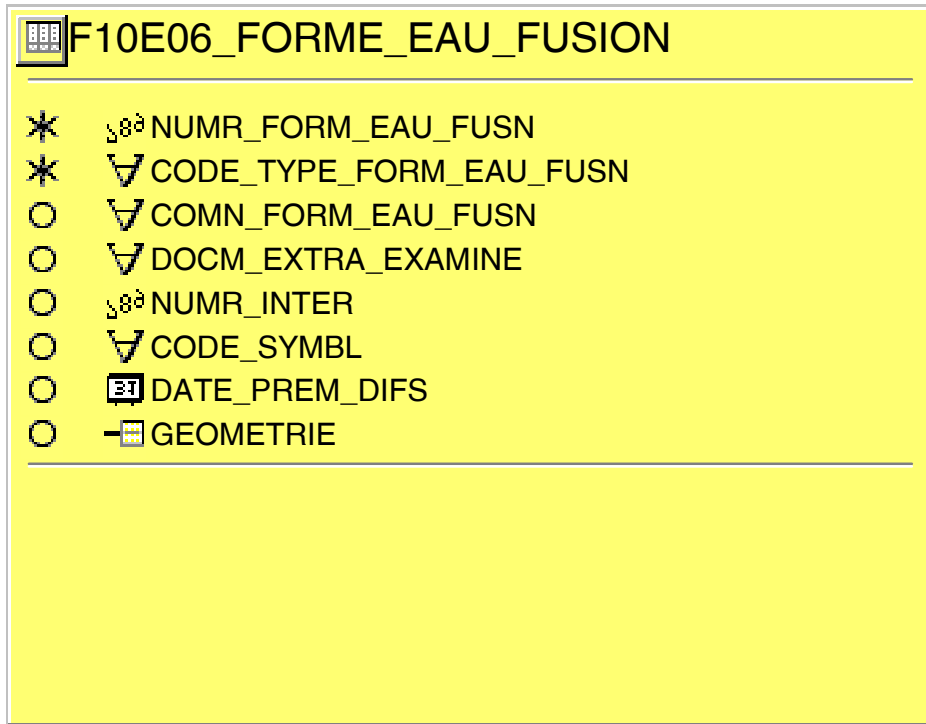
FAILLE RÉGIONALE



FORAGE AU DIAMANT



FORME EAU FUSION

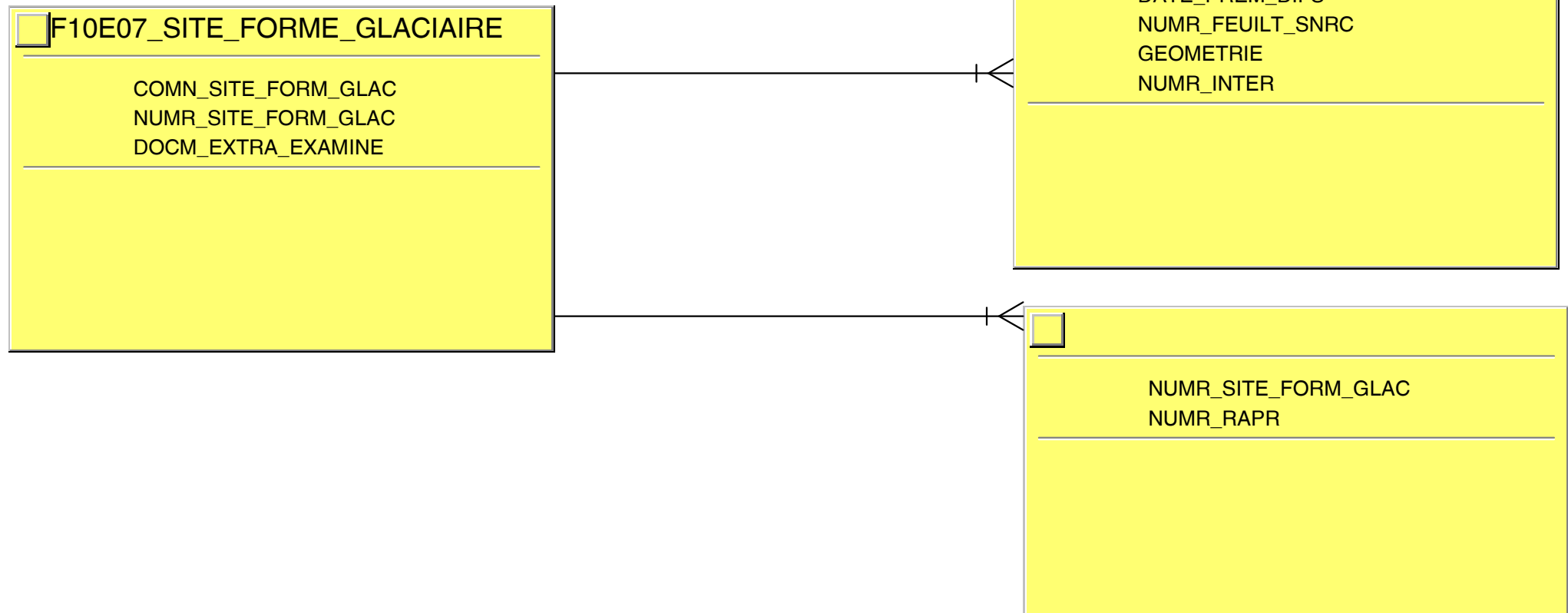


FORME GLACIAIRE

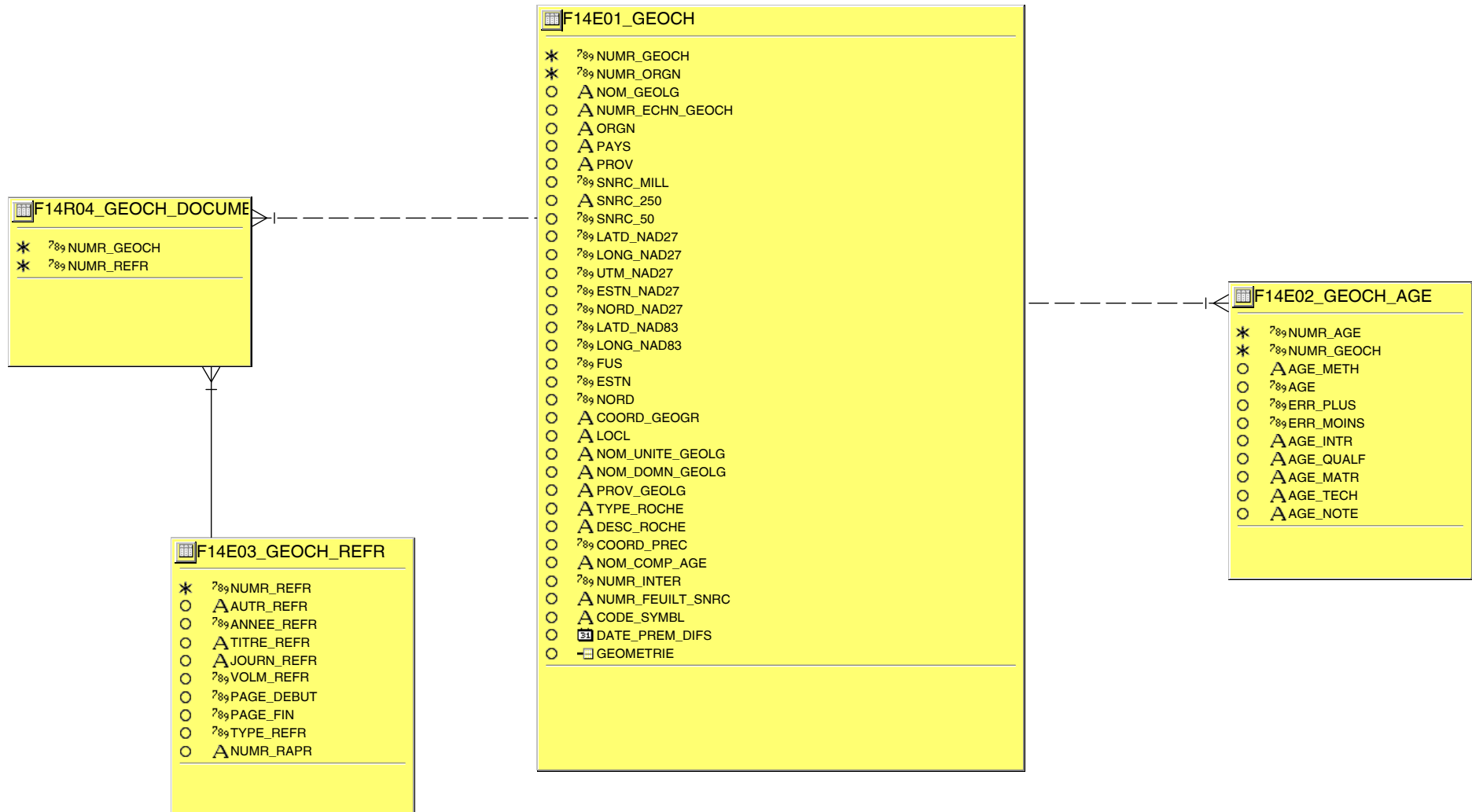
La table F10E14 comporte des géométrie de type «point», «ligne» et «polygone».

Ces entités sont dans trois tables différentes dans la FGDB :

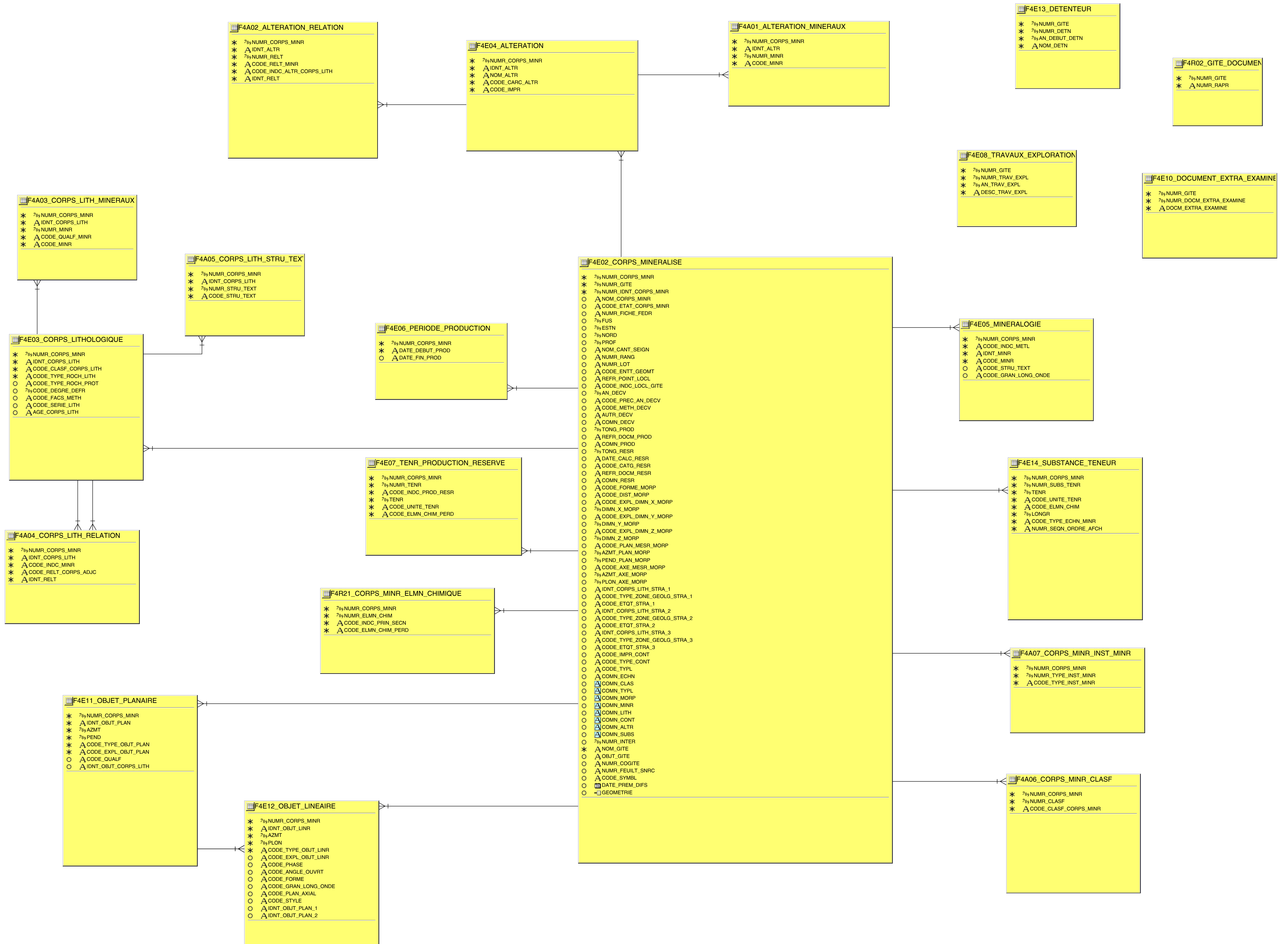
- Point = F10E14_FORME_GLACIAIRE_PT
- Ligne = F10E14_FORME_GLACIAIRE_LG
- Polygone = F10E14_FORME_GLACIAIRE_PG



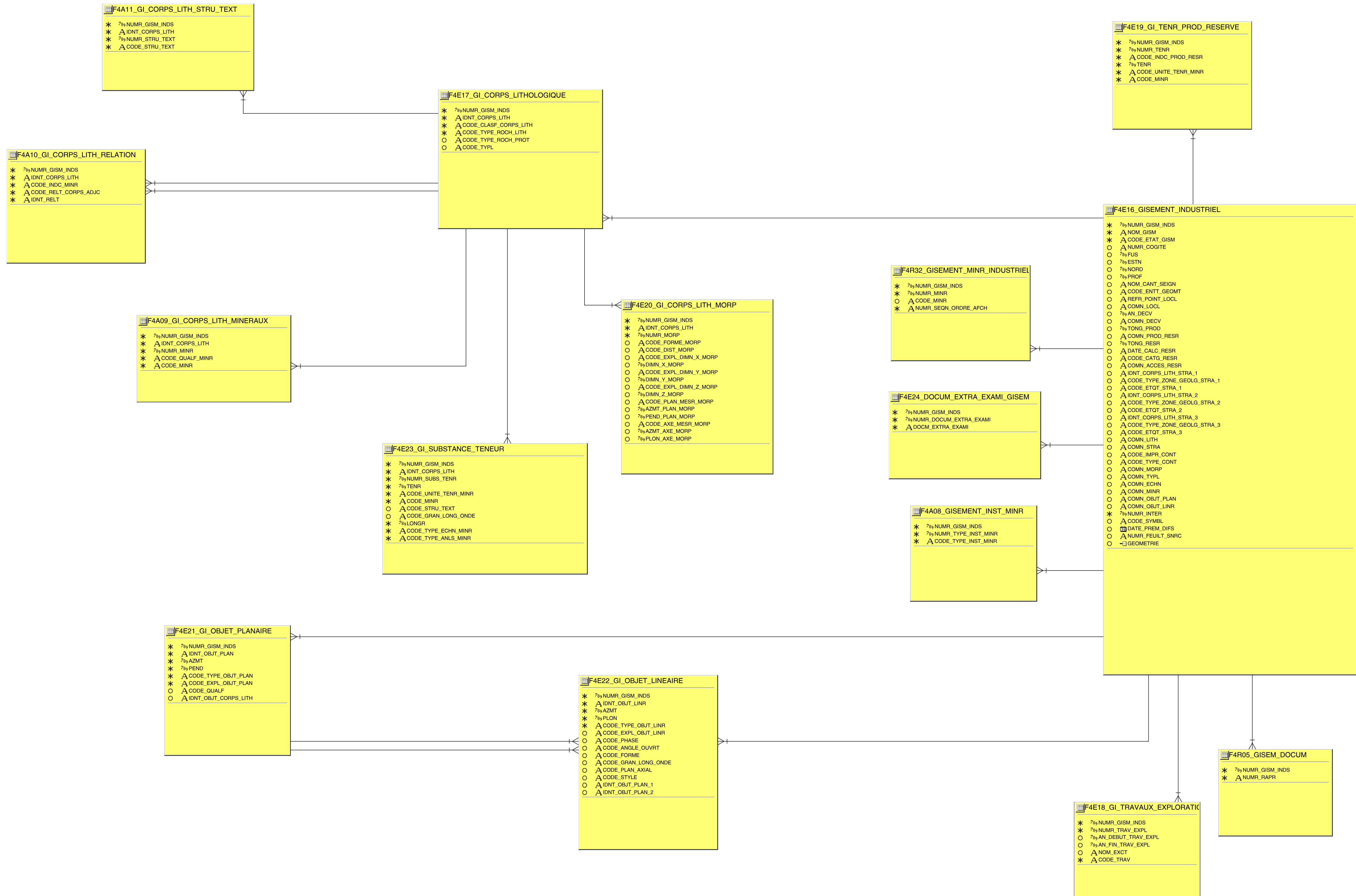
GÉOCHRONOLOGIE



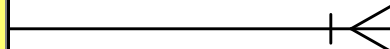
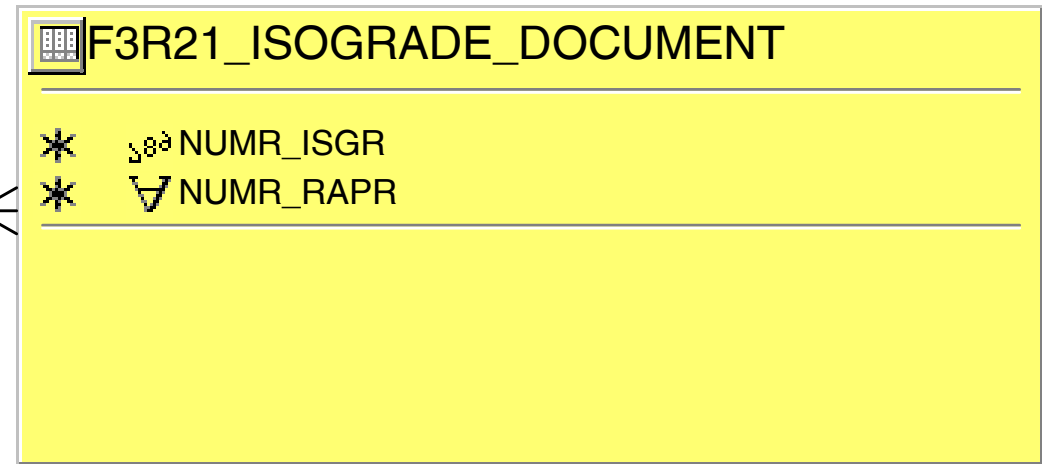
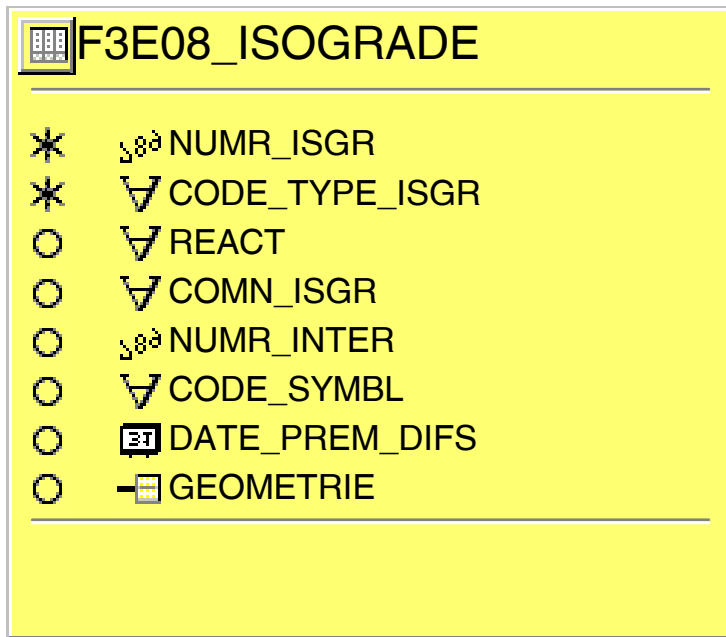
GISEMENT MÉTALLIQUE



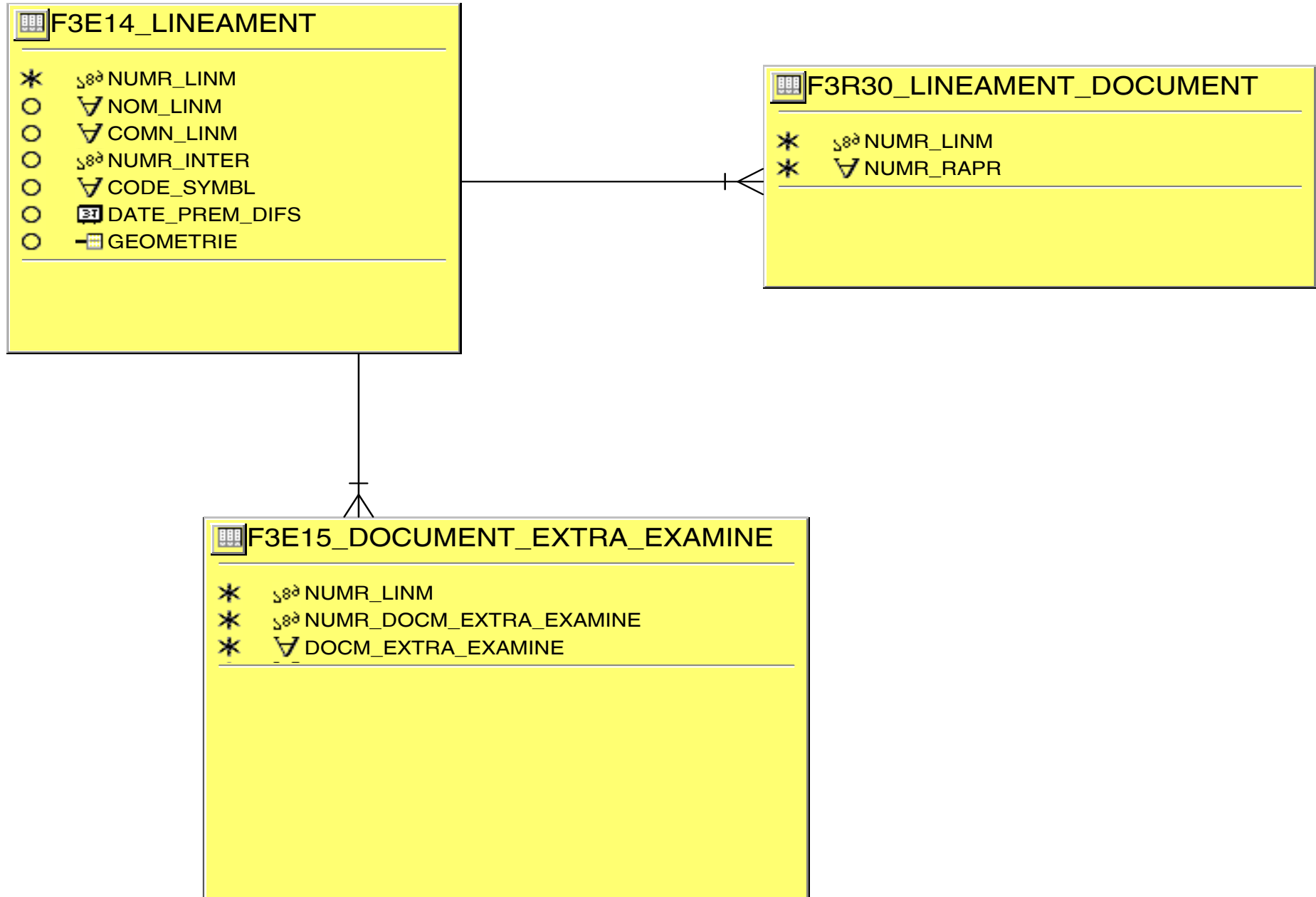
GISEMENT NON-MÉTALLIQUE



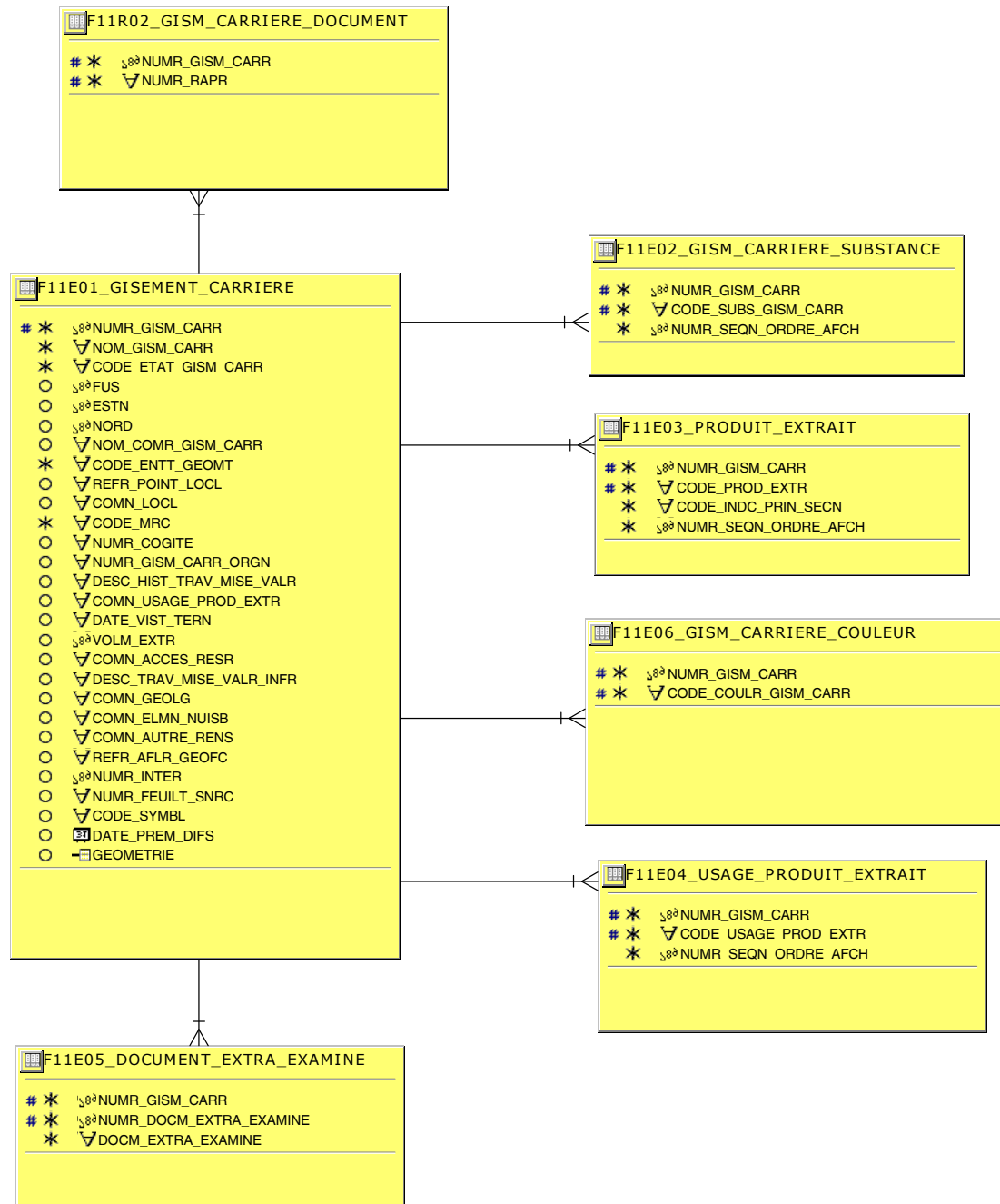
ISOGRADE



LINÉAMENT



MATÉRIAUX DE CONSTRUCTION ET PIERRES INDUSTRIELLES



PLIS RÉGIONAL

F3E07_PLIS_REGIONAL

- * NUMR_PLIS_REGN
- * CODE_POST_PLIS_REGN
- * CODE_FORM_PLIS_REGN
- * CODE_TYPE_PLIS_REGN
- * CODE_ATD_PLIS_REGN
- CODE_PHASE_PLIS_REGN
- NOM_PLIS_REGN
- COMN_PLIS_REGN
- NUMR_INTER
- CODE_SYMBL
- DATE_PREM_DIFS
- GEOMETRIE

F3R07_PLIS_REGIONAL_DOCUMENT

- * NUMR_PLIS_REGN
- * NUMR_RAPR



POSITION PALÉOGÉOGRAPHIQUE

F10E03_POSITION_PALEOGEOGRAPHI

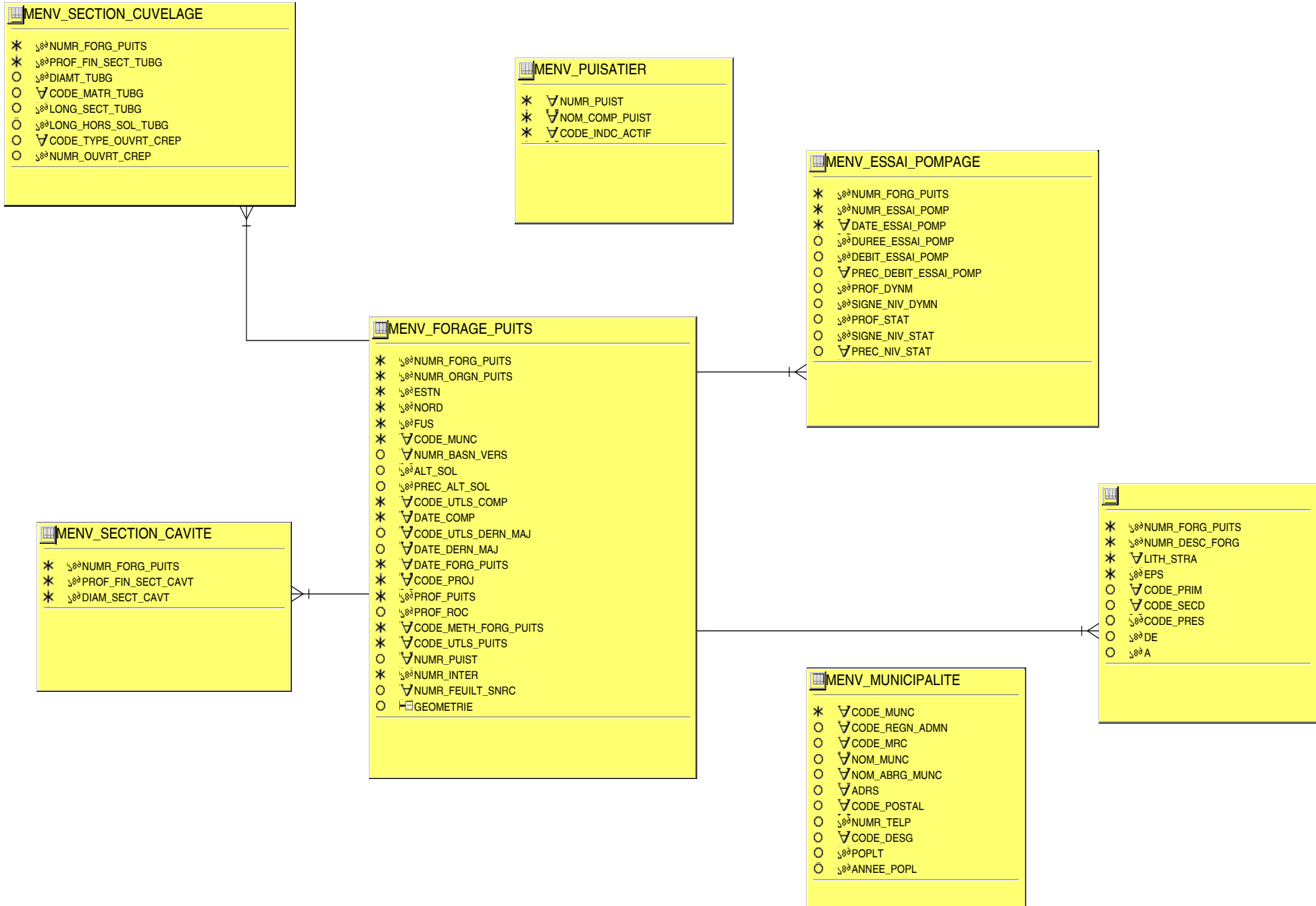
- * NUMR_POST_PALG
- * CODE_TYPE_POST_PALG
- NOM_POST_PALG
-
- MESR_AGE_POST_PALG
- COMN_POST_PALG
- DOCM_EXTRA_EXAMINE
- NUMR_INTER
- CODE_SYMBL
- DATE_PREM_DIFS
- GEOMETRIE

F10R06_POST_PALG_DOCUMENT

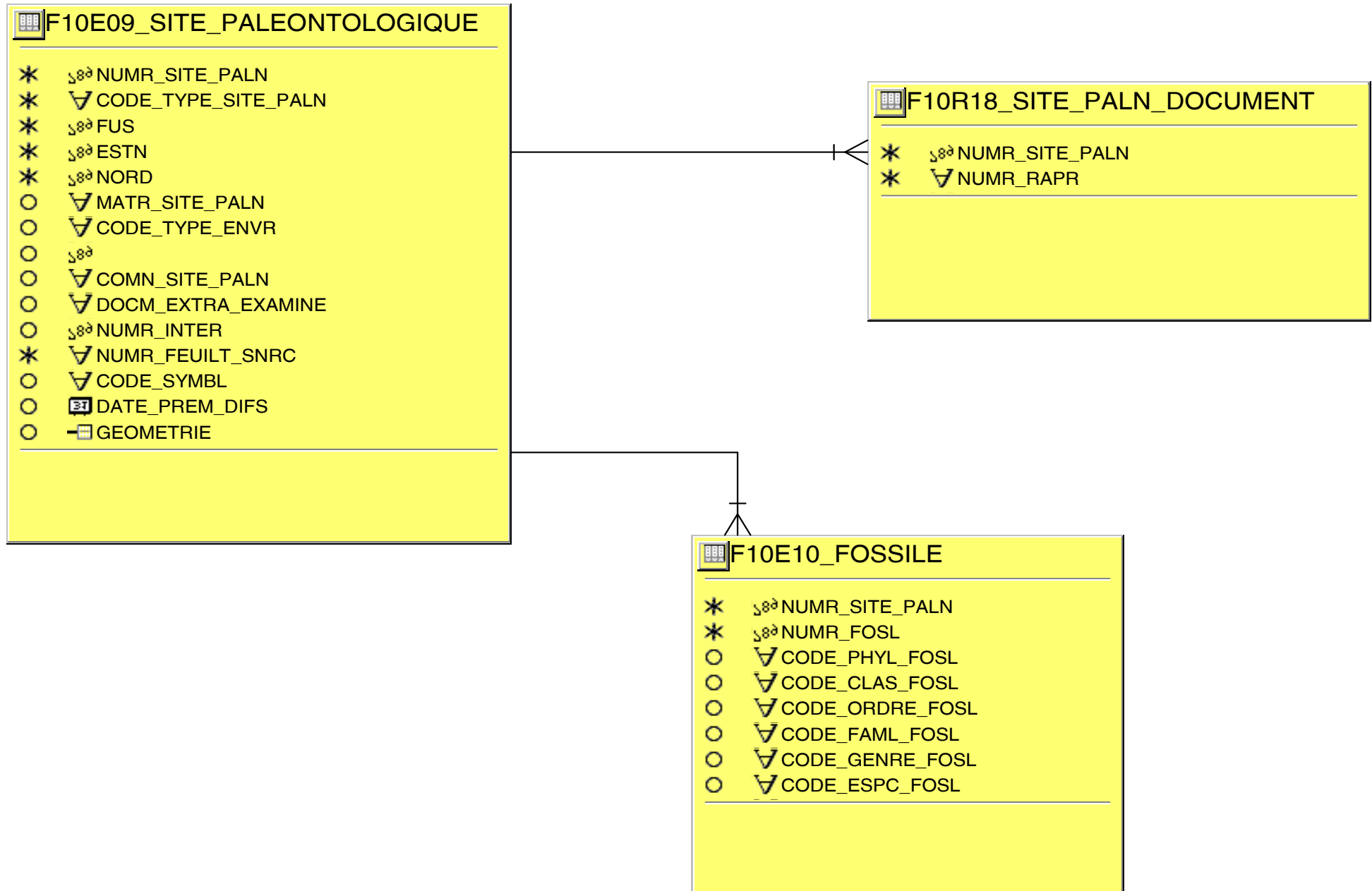
- * NUMR_POST_PALG
- * NUMR_RAPR



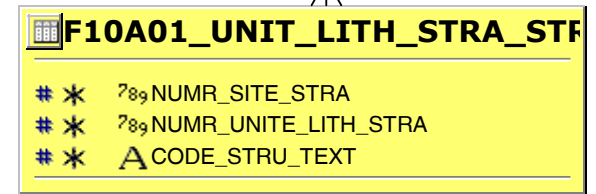
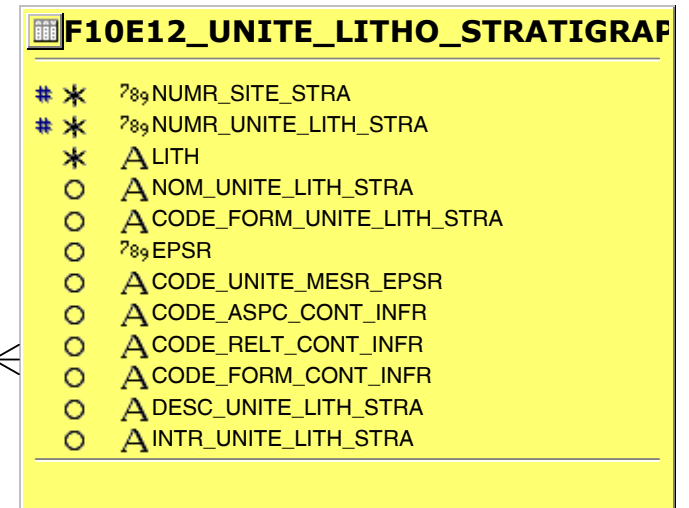
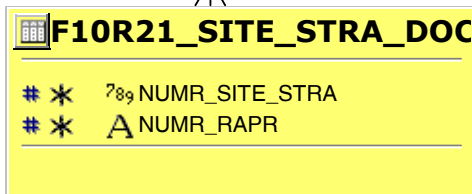
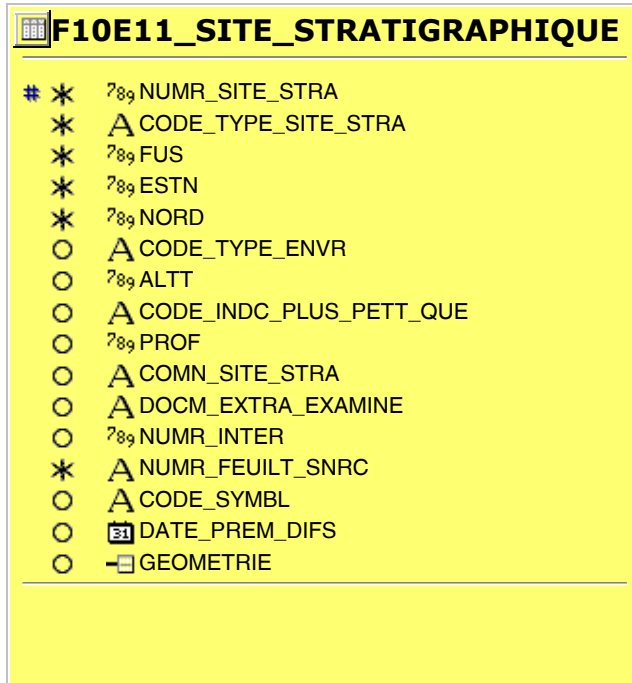
PUITS DE FORAGE



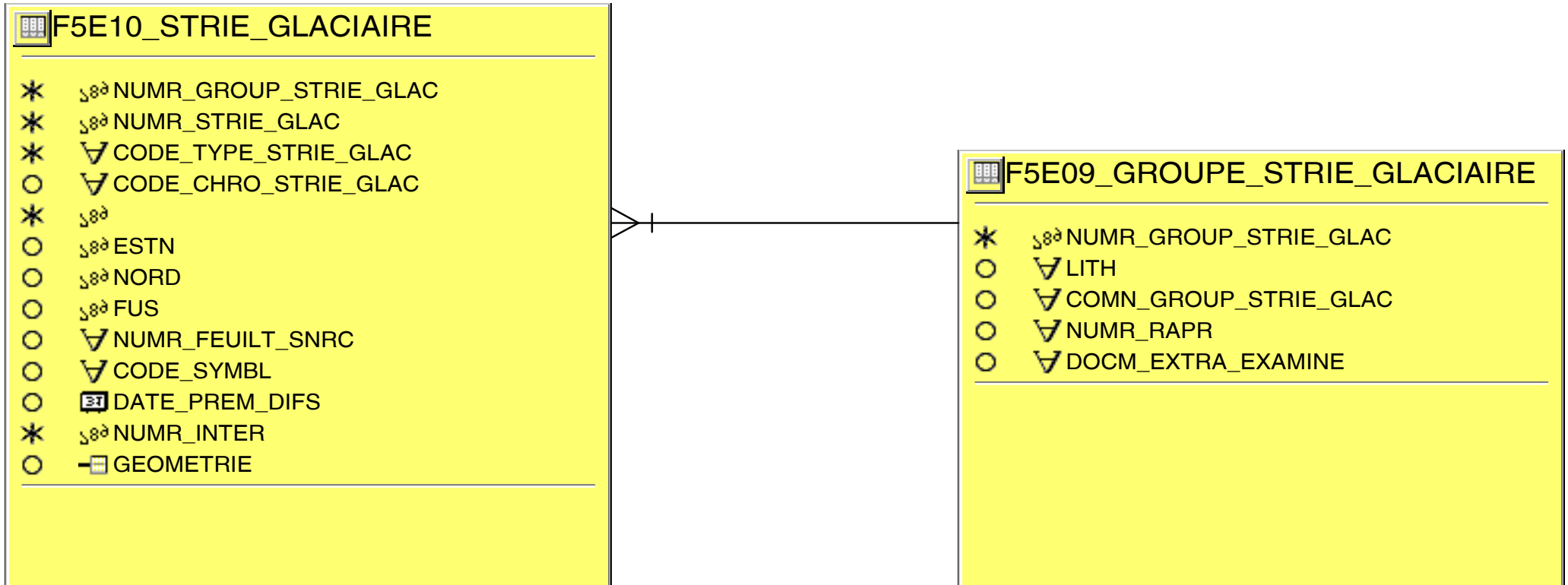
SITE PALÉONTOLOGIQUE



SITE STRATIGRAPHIQUE



STRIE GLACIAIRE



TITRES MINIERS

SGN_ODM_PLT_AVEC_TMN_VUE	
PLT_NO_SEQ	NUMBER (10)
TER_CODE	VARCHAR2 (8)
TMN_NO	VARCHAR2 (7)
CSI_CODE	VARCHAR2 (5)
FEU_NO_NOMIN	VARCHAR2 (5)
TPO_CODE	VARCHAR2 (1)
TUP_CODE	VARCHAR2 (2)
PTM_DATE_DEBUT	DATE (7)
PLT_NO_LOT_COLON	VARCHAR2 (4)
PTMV_LOCA	VARCHAR2 (58)
PLT_NO_RANG_BLOC	VARCHAR2 (4)
RBP_NO	VARCHAR2 (4)
PLT_NO_SECTI	NUMBER (2)
PLT_SUPRF_CALCUL	NUMBER (10, 5)
GDO_GEOMETRY	SDO_GEOMETRY (64)

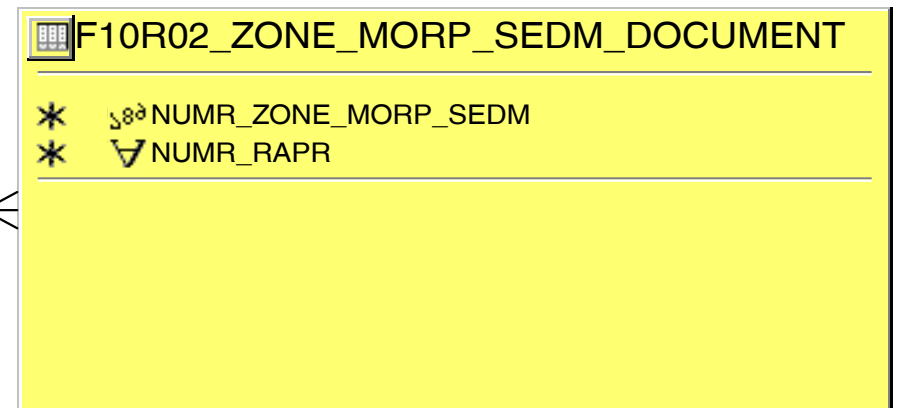
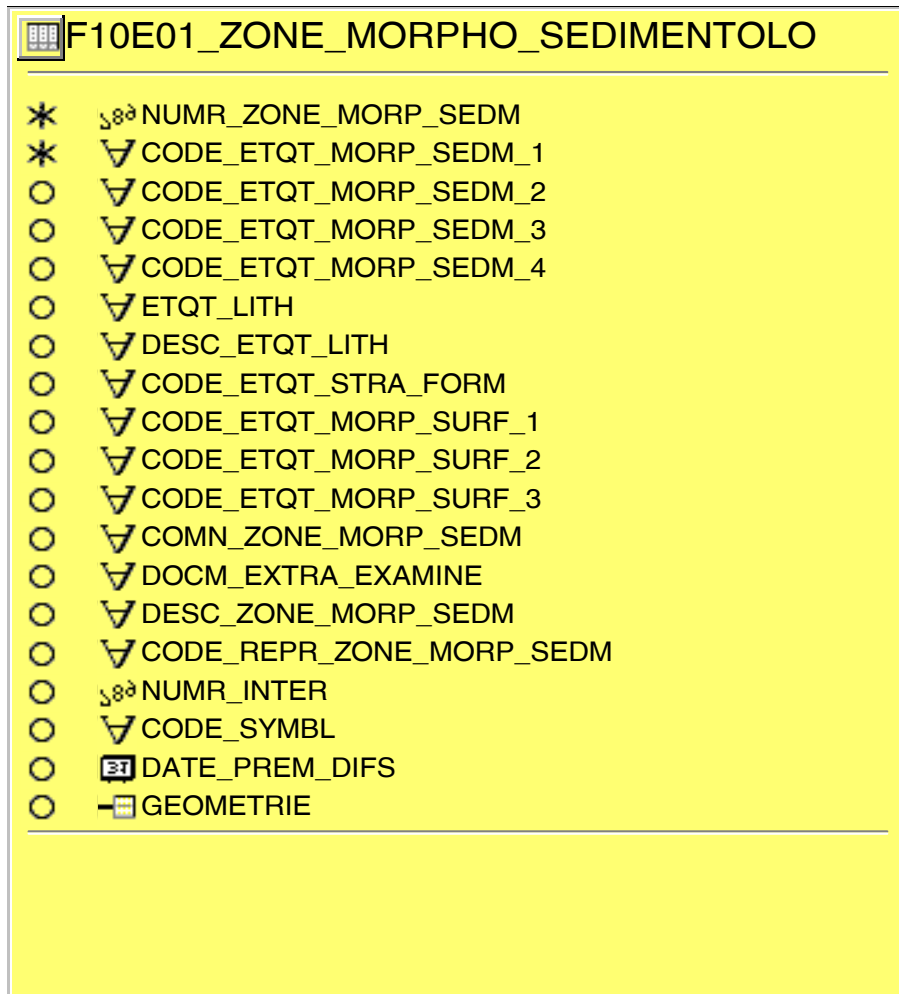
SGN_ODM_TMN_STM_VUE	
TER_CODE	VARCHAR2 (8)
TMN_NO	VARCHAR2 (7)
STI_CODE	VARCHAR2 (1)
TMN_DESCR	VARCHAR2 (500)
TMN_DATE_EMISS	DATE (7)
TMN_DATE_EXPIR	DATE (7)
TMN_NB_ECHEA	NUMBER (2)
TMN_NB_RENOU	NUMBER (2)
TMN_DATE_ANNIV	DATE (7)
TMN_DATE_JALON	DATE (7)
TMN_MONTA_CREDI_TRAVA_CUMU	NUMBER (13, 2)
TMN_SUPRF	NUMBER (10, 5)
TMN_COM_LOCAL	VARCHAR2 (100)
SES_NO_SEQ	NUMBER (10)
TMN_MONTA_TRAVA_REQUI	NUMBER (13, 2)
TMN_DESCR_CONTR_EMISS	VARCHAR2 (2000)

SGN_ODM_IEX_DTI_VUE	
TER_CODE	VARCHAR2 (8)
TMN_NO	VARCHAR2 (7)
DTI_POURC	NUMBER (6, 3)
DTI_IND_INTER_RESPO	VARCHAR2 (1)
IEX_NOM	VARCHAR2 (40)
IEX_NO_SEQ	NUMBER (10)
IEX_PRENO	VARCHAR2 (30)
IEX_RAISO_SOCIA	VARCHAR2 (80)
CIE_CODE	VARCHAR2 (1)

TITRES MINIERS EN DEMANDE

SGN_ODM_PLT_EN_DEMAN_VUE	
PLT_NO_SEQ	NUMBER (10)
CSI_CODE	VARCHAR2 (5)
FEU_NO_NOMIN	VARCHAR2 (5)
TPO_CODE	VARCHAR2 (1)
PLT_NO_LOT_COLON	VARCHAR2 (4)
PLDV_LOCA	VARCHAR2 (58)
PLT_NO_RANG_BLOC	VARCHAR2 (4)
RBP_NO	VARCHAR2 (4)
PLT_NO_SECTI	NUMBER (2)
PLT_SUPRF_CALCUI	NUMBER (10, 5)
GDO_GEOMETRY	SDO_GEOMETRY (64)

ZONE MORPHO-SÉDIMENTOLOGIQUE



ZONE GÉOLOGIQUE

